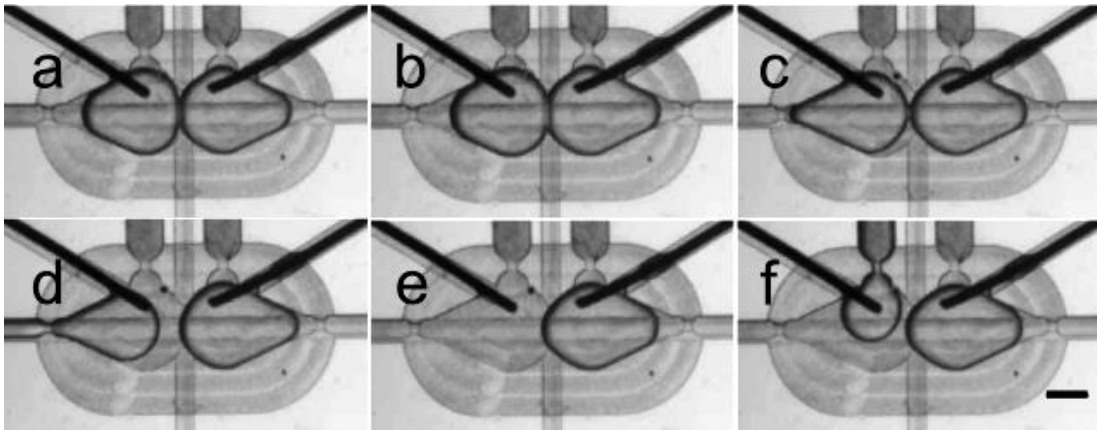
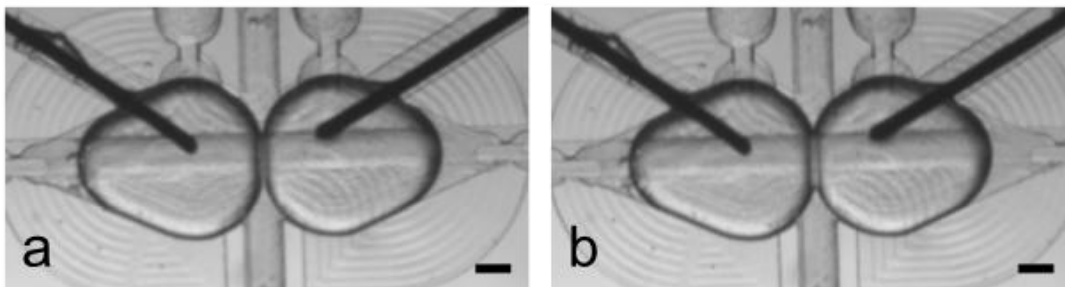


Ryc. 1 Schemat pułapki w której umieszczone są krople (a) i elektrody (b).



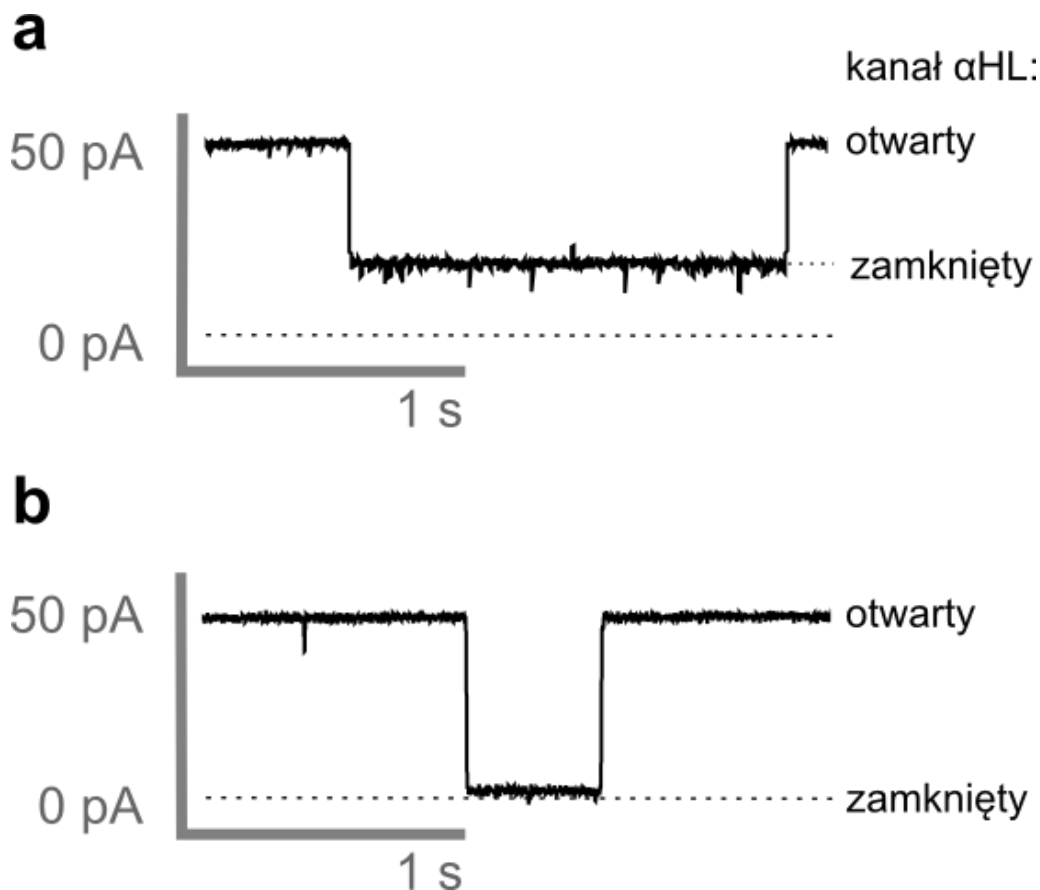
Ryc. 2 Mikrofotografie ilustrujące proces wymiany kropli w pułapce: a – dwie krople są umieszczone w pułapce, b – utworzenie dwuwarstwy; c-e – usunięcie jednej z kropli; f – wprowadzenie nowej kropli do pułapki. Podczas usuwania kropli dodatkowo włączany był przepływ ze znajdujących się w środkowej części węższych kanałów. Znacznik skali - 400  $\mu\text{m}$ .



Ryc. 3 Obserwacja tworzenia dwuwarstwy: a - krople przed utworzeniem dwuwarstwy, b – utworzenie dwuwarstwy widoczne jako zmiana załamania światła na styku dwóch kropli. Znacznik skali – 200  $\mu\text{m}$



Ryc. 4 Przykładowe pomiary skokowych wzrostów natężenia prądu w trybie *voltage-clamp* odpowiadający pojedynczym kanałom  $\alpha$ -hemolizyny w dwuwarstwą lipidową. Pomiary przy +50 mV, w 1 M KCl, pH 7.



Ryc. 5 Przykładowe pomiary przepływu prądu ukazujący przejściowe zamknięcia kanału białkowego przez cukrowe cząsteczki: a – 60% zablokowanie kanału przez cząsteczkę  $\gamma$ -cyklodekstryny; b – 100% zablokowanie przez cząsteczkę TRIMEB.